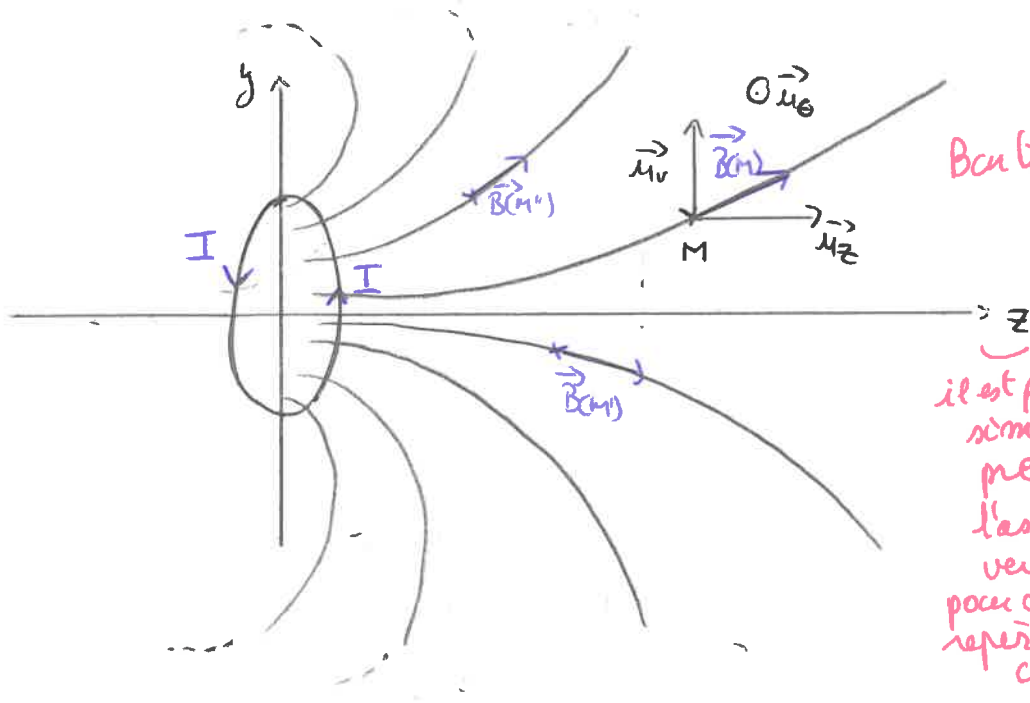


Exercice I TD n°22

GRUPE 4

Eloan
Léa
Yanis

1.



Bon travail.

il est plus simple de prendre l'axe z vertical pour avoir un repère usuel cylindrique.

* On remarque que $\pi_1 = (M, \vec{u}_z, \vec{u}_r)$ est un plan d'antisymétrie des courants. Ainsi $\forall M \in \pi_1 ; \vec{B}(M) \in \pi_1$.

* De plus on voit facilement que le courant est invariant par rotation d'angle θ . Ainsi $\vec{B}(M)$ est indépendant de θ .

De fait, $\forall M \in \pi_1 ; \vec{B}(M) = B_r(r, z) \vec{u}_r + B_{axe}(r, z) \vec{u}_z$ B

2. Soit $M \in (O, \vec{u}_z)$:

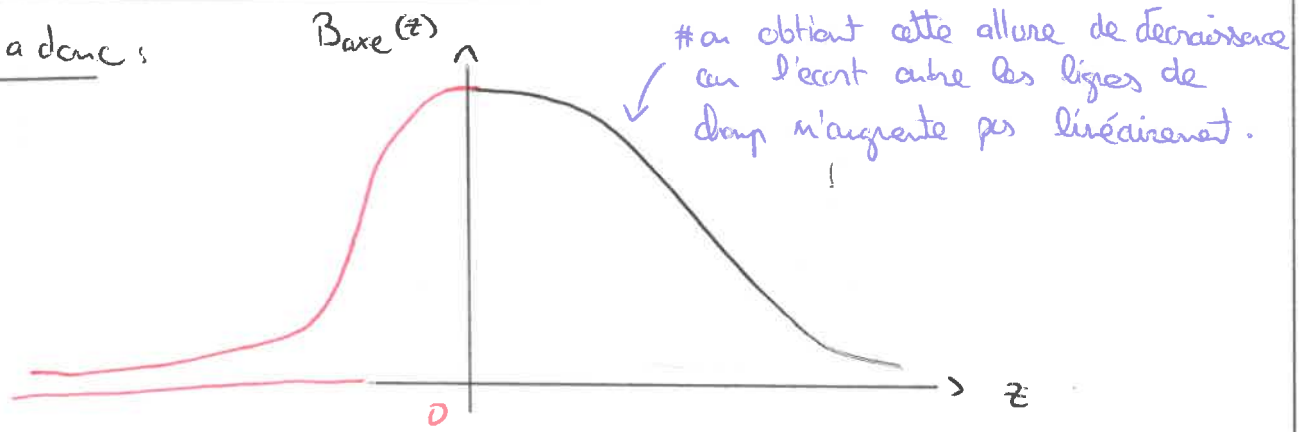
* On observe que tous les plans passant par M et donc par l'axe de la spire sont des plans d'antisymétrie des courants.

Ainsi, $M \in (O, \vec{u}_z) \Rightarrow \vec{B}(M) = B_{axe}(O, z) \vec{u}_z$
 axe de la spire

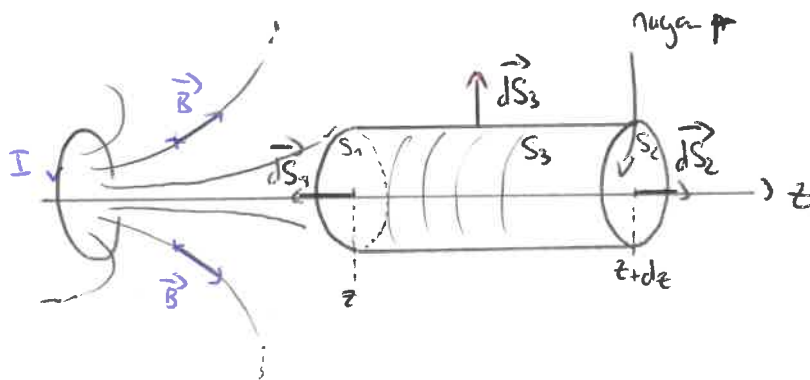
* De plus, la relation de Maxwell-Thomson (Flux), $\text{div } \vec{B} = 0$.
 Il en découle que \vec{B} se concentre dans un tube de champ.

Ainsi, comme les lignes de champ "s'écartent" de part et d'autre de l'axe de la spire, on en déduit que la composante axiale de \vec{B} diminue avec z qui croît: TB

On a donc :



3. On considère le schéma suivant :



Le cylindre (composé de ses 2 ^{bases} surfaces latérales ainsi que de sa surface latérale) constitue une surface fermée.

On $\text{div}(\vec{B}) = 0$ (équation de Maxwell - Thomson), donc en appliquant le théorème d'Ostrogradski à \vec{B} , on obtient que \vec{B} est un vecteur à flux conservatif.

Donc $\oint_{\text{Surface fermée}} (\vec{B}) = 0$. Donc $\oint_{\text{Cylindre}} (\vec{B}) = 0$.

On, $\oint_{\text{Cylindre}} (\vec{B}) = \oint_{S_1} (\vec{B}) + \oint_{S_2} (\vec{B}) + \oint_{S_3} (\vec{B})$

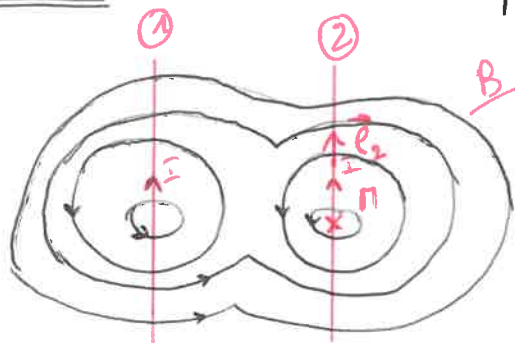
$\oint_{\text{Cylindre}} \vec{B} \cdot \vec{S} = 0 = -\pi r^2 B_z(0,z) + \pi r^2 B_z(0,z+dz) + \iint_{S_3} (\underbrace{B_r dr + B_\theta dz}_{\text{produit scalaire nul}}) \cdot \vec{dS}_3$

vrai car \vec{B} est tangente sur $S_{1,2}$
 car $B_r = 0$ au voisinage de l'axe

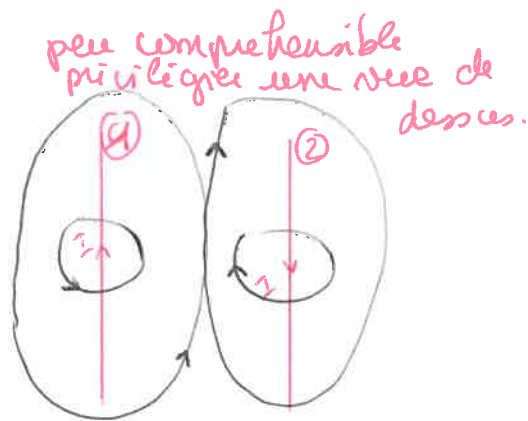
Donc $\frac{\partial B_z}{\partial z}(0,z) \cdot \pi r^2 dz + B_r(r,z) \cdot 2\pi r dz = 0 \rightarrow \frac{\partial B_{axe}}{\partial z} < 0$

$\Leftrightarrow B_r(r,z) = -\frac{r}{2} \frac{\partial B_z(0,z)}{\partial z}$

Come $\frac{\partial B_z}{\partial z} \downarrow B_{axe} \downarrow$; on a bien $B_r(r,z) > 0$ ce qui est cohérent avec le sens des lignes de champ.



Cas 1:



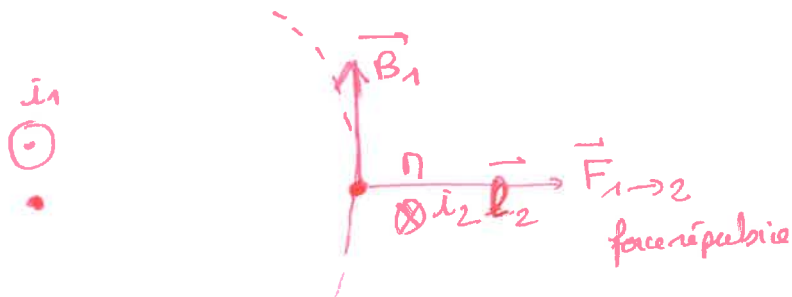
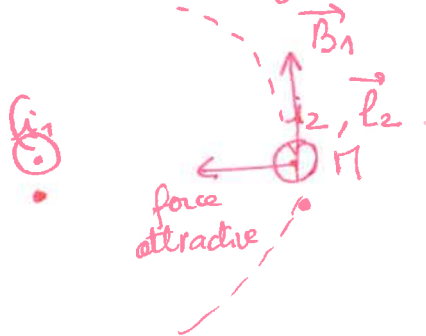
Cas 2:

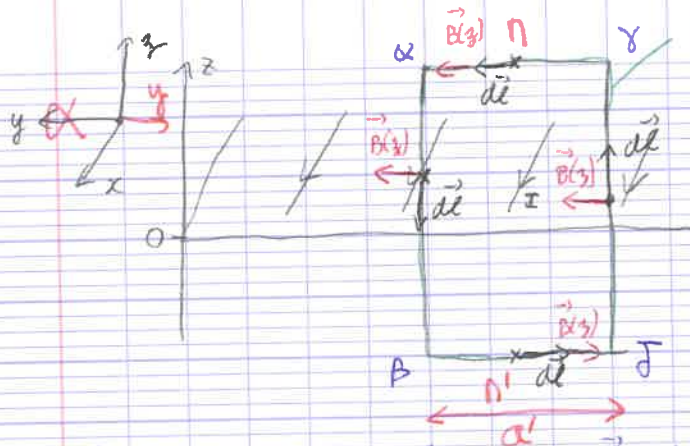
Les courants sont attractifs dans le cas 1 car les lignes de champ se rejoignent. Au contraire, dans le cas 2, on voit que les lignes de champ se repoussent.

attention, il faut être plus quantitatif.

On cherche à modéliser l'interaction entre les 2 fils.

$$\vec{F}_{1 \rightarrow 2} = i_2 \vec{l}_2 \wedge \vec{B}_1(H)$$





Amperie : rectangle symétrique par rapport aux courants.

(a' n'est pas forcément égal à a)

- Calculons la circulation de \vec{B} et appliquons le théorème d'Amperie :

$$\begin{aligned} \mathcal{C}_r(\vec{B}) &= \oint_r \vec{B} \cdot d\vec{l} = \underbrace{\int_{\alpha}^{\beta} \vec{B} \cdot d\vec{l}}_{0 \text{ car } \vec{B} \perp d\vec{l}} + \underbrace{\int_{\beta}^{\gamma} \vec{B} \cdot d\vec{l}}_{0 \text{ car } \vec{B} \perp d\vec{l}} \\ &= 2 \int_{\gamma}^{\alpha} B \cdot dl = 2 B(y) a' \end{aligned}$$

or d'après le théorème d'Amperie : $\mathcal{C}_r(\vec{B}) = \mu_0 I_{enc}$

et ici $I_{enc} = I$ ~~car~~ $\text{tel } a' b = \frac{I}{N b} a' b = \frac{I}{N b} a' b = \frac{I a'}{N b}$

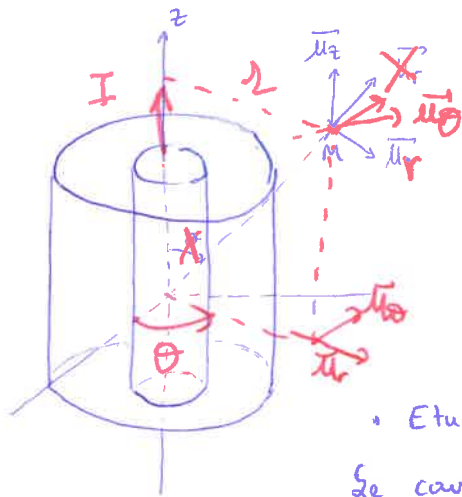
Ainsi

$$\vec{B}(y) = \begin{cases} \frac{\mu_0 N I}{2 N b} u_y & x \geq 0 \\ -\frac{\mu_0 N I}{2 N b} u_y & x < 0 \end{cases}$$

c) $\|\vec{B}(y)\| = \frac{4\pi \times 10^{-2} \times 3,25 \times 10^{-2}}{2 \times 3,25 \times 10^{-2}} = 1,2 \mu T \approx 0,02 \mu T$

Exercice IV, TD 22

Q1



Groupe 6

⚠ Vous êtes en cylindriques pas en sphériques.

• Étude des symétries des courants: **sphériques**.
Le plan $\Pi(n, \vec{u}_r, \vec{u}_z)$ est un plan de symétrie par la distribution des courants. On, le champ magnétique est perpendiculaire à ce plan

donc $\vec{B}(n) = B(n) \vec{u}_\theta$

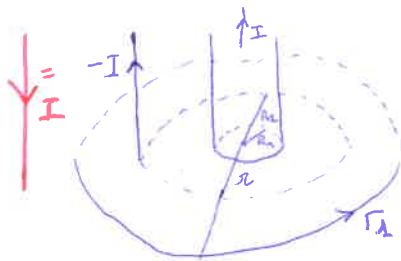
$r =$ distance M avec z
 \neq distance OM
 \rightarrow sphérique.

• Étude des invariances:

Le courant est invariant par rotation d'angle θ et par

translation selon l'axe z. Donc $B(n, \theta, z)$ est indépendant de θ et z .

$B(n, \theta, z) \vec{u}_\theta = B(r) \vec{u}_\theta$ **B**



• On applique le théorème d'Ampère sur le contour Γ_1 :

$\oint (\vec{B}(n)) \cdot d\vec{l} = \int B(r) \vec{u}_\theta \cdot r d\theta \vec{u}_\theta = \mu_0 I_{enc} \vec{u}_z$

Γ_1 fermé orienté

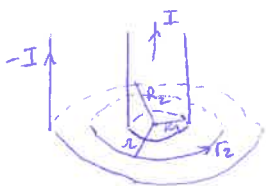
$B(n) 2\pi r = \mu_0 I_{enc} \vec{u}_z \Rightarrow B(n) = \frac{\mu_0 I_{enc} \vec{u}_z}{2\pi r}$

On ici, $I_{enc} \vec{u}_z = I - I = 0$ donc $B_1(n) = 0$ pour $r > R_2$

• En appliquant le théorème d'Ampère sur le contour Γ_2 :

$B(n) = \frac{\mu_0 I_{enc} \vec{u}_z}{2\pi r}$ or ici, $I_{enc} \vec{u}_z = I$

$\Rightarrow B_2(n) = \frac{\mu_0 I}{2\pi r}$ pour $R_2 > r > R_1$



• En appliquant le théorème d'Ampère sur le contour Γ_3 :

$B(n) = \frac{\mu_0 I_{enc} \vec{u}_z}{2\pi r}$ or ici, $I_{enc} \vec{u}_z = j_{el} \cdot \pi r^2$

$\Rightarrow B(n) = \frac{\mu_0 j_{el} \pi r^2}{2\pi r} = \frac{\mu_0 j_{el} r}{2}$

or I ont le même des le contour Γ_2 et Γ_3 donc j_{el} aussi

donc $j_{el} = \frac{I}{\pi R_1^2}$

Finalement: $B_3(n) = \frac{\mu_0 I r}{2\pi R_1^2}$ pour $R_1 > r$ **B**

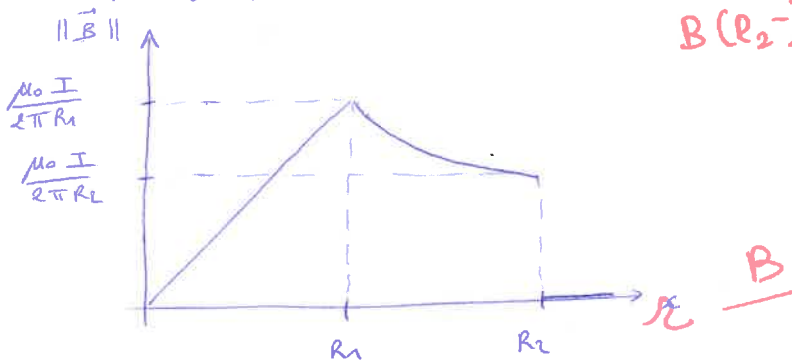
Q2 En $r = R_1$: $B_2(r = R_1) = \frac{\mu_0 I}{2\pi R_1} = B_3(r = R_1)$, Donc B est continu en R_1 B

De plus B est continu pour $r \in [0, R_1[\cup]R_1, R_2[$

Donc \vec{B} est continu $\forall r < R_2$

Le champ magnétique est donc continu à la traversée ~~des~~ ^{du 1^{er} cylindre uniquement} ~~deux~~ cylindres.

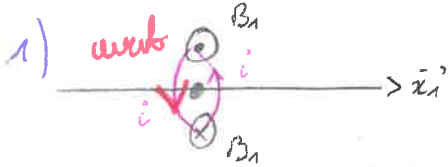
$$B(R_2^-) \neq B(R_2^+)$$



Q3 Le champ est le plus intense en $r = R_1$ ✓

$$B = \frac{\mu_0 I}{2\pi R_1} = \frac{4\pi \cdot 10^{-7} \cdot 1}{2\pi \cdot 10^{-3} \cdot 1,3} \approx \underline{\underline{2 \cdot 10^{-4} \text{ T}}}$$

1,5



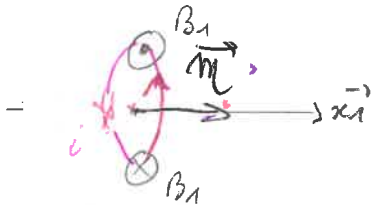
\vec{B} est selon \vec{x}_1 d'après la règle de la main droite

$\vec{m} = i\vec{S}$ or \vec{S} est orientée perpendiculairement

aux courants donc $\vec{S} = -S\vec{x}_1$

Ainsi, $\vec{m} = iS\vec{x}_1$

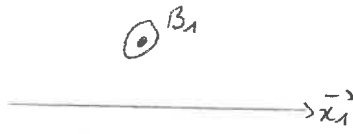
le rotor est représenté par \vec{m} dans un champ \vec{B} est \vec{m} subit le couple $\vec{C} = \vec{m} \wedge \vec{B}$ à l'équilibre \vec{m} et \vec{B} sont colinéaires et de même sens.



Cas où seule bobine 1 alimentée donc

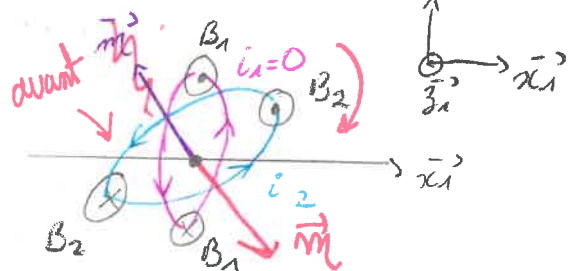
$\vec{m} = m\vec{x}_1$

Nota (≠ moment magnétique de Bob1)



Bobine 1 pas alimentée donc pas de moment magnétique

il existe toujours... c'est le rotor.



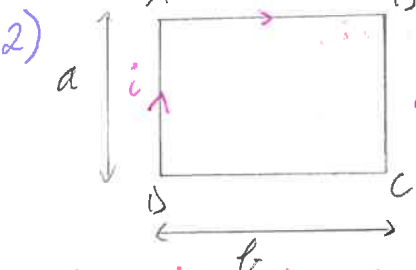
On alimente maintenant la bobine 2 donc $i_1 = 0$ (courant bobine 1). Et \vec{m} étant colinéaire à \vec{S} (\perp aux courants), il a une composante sur \vec{x}_1 et \vec{y}_1 .

le rotor a tourné de 30° au.

On a donc $\vec{B} = -B\vec{u}_z$

et $\vec{S} = -S\vec{u}_z$

D'où $\vec{m} = -iS\vec{u}_z = -iab\vec{u}_z$

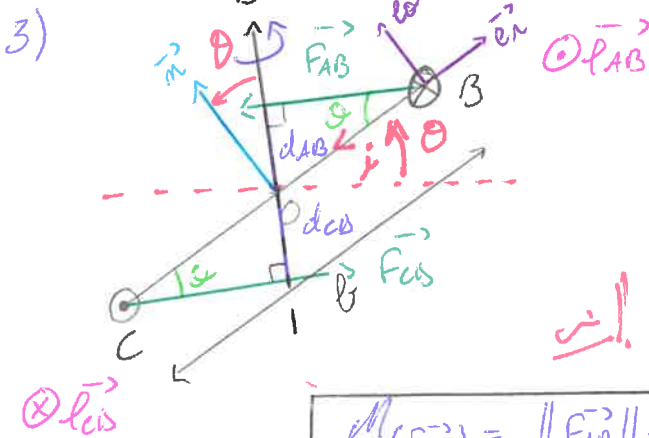


(respectu le schéma donné)

Ordre de grandeur d'un moment magnétique d'un aimant est d'environ $10 \text{ A}\cdot\text{m}^2$

Un aimant crée des lignes de champ qui sont dues au moment magnétique \vec{m} de l'aimant.

Les lignes de champ créés par l'aimant sont analogues à celles créées par une spirale plane par un courant.



$\vec{F}_{AB} = i\vec{l}_{AB} \wedge \vec{B} = ib\vec{e}_z \wedge (B_n\vec{e}_1 + B_o\vec{e}_2)$
 $= -ibB_n\vec{e}_2 + ibB_o\vec{e}_1$

$\vec{F}_{CB} = i\vec{l}_{CB} \wedge \vec{B} = -ib\vec{e}_z \wedge (B_n\vec{e}_1 + B_o\vec{e}_2)$
 $= ibB_n\vec{e}_2 - ibB_o\vec{e}_1$

On remarque que $\vec{F}_{AB} + \vec{F}_{CB} = \vec{0}$
 Donc $(\vec{F}_{AB}, \vec{F}_{CB})$ est un couple de force.

$M_{(\vec{F}_{AB})} = \|\vec{F}_{AB}\| \times d_{AB} = \sqrt{(ibB_n)^2 + (ibB_o)^2} \times \frac{a}{2} \sin\theta = \frac{iba\|\vec{B}\| \sin\theta}{2}$
 $M_{(\vec{F}_{CB})} = \|\vec{F}_{CB}\| \times d_{CB} = \sqrt{(ibB_n)^2 + (ibB_o)^2} \times \frac{a}{2} \sin\theta = \frac{iba\|\vec{B}\| \sin\theta}{2}$

$\sqrt{(ibB_n)^2 + (ibB_o)^2} = ib\sqrt{B_n^2 + B_o^2} = ib\|\vec{B}\|$
 $C = \mathcal{N}_{1,\Delta}(\vec{F}_{AB}) + \mathcal{N}_{1,\Delta}(\vec{F}_{CB}) = iba\|\vec{B}\| \sin\theta \rightarrow$

$$\text{sur DA} \quad d\vec{F}_L = i d\vec{e}_1 \wedge \vec{e}_2 = i dl \vec{e}_1 \wedge (B_0 \vec{e}_1 + B_0 \vec{e}_2) \\ = i B_0 dl d\vec{e}_2$$

$$\mathcal{M}_{0/D}(\vec{F}_{DA}) = 0.$$

idem sur BC

En cours:
$$\begin{aligned} \vec{C} &= \vec{A} \wedge \vec{B} = i \vec{S} \wedge \vec{B} \\ &= i ab \vec{n} \wedge \vec{B} \\ &= i ab \|\vec{B}\| \widehat{\sin(\vec{n}, \vec{B})} \vec{u}_z \\ &= i ab \|\vec{B}\| \sin\theta \vec{u}_z \\ &= C \vec{u}_z \end{aligned}$$

↑
trouvé précédemment.